

1-76 移動荷重をうけるランガー橋の動的研究 (その3)

— 静的、動的レスポンス —

熊本大学 正員 ○平井一男

熊本大学 正員 吉村虎藏

日本道路公団 正員 市川紀一

京都大学 正員 平島健一

(その1), (その2)において、ランガー橋の固有振動数 ω_m 、振動モード $\Psi_m(x)$ を求めた2つの異った方法と、これらの方針によつて数值計算を行うと、同一の値が得られる事を述べた。(その3)においては、このようにして求めた固有振動数 ω_m 、振動モード $\Psi_m(x)$ を使用して、2,3の動的荷重がランガー橋に作用する時の動的レスポンスを求める方法について述べ、また静荷重き動的荷重の特別な場合として取り扱うと、通常ランガー橋の設計に用いる仮想仕事法による静力学より得た挿み、曲げモーメントの値に一致することから、この2つの方法によつて得られた固有振動数、振動モード、適合条件が理論的に正しいことについて述べる。

理 論

(i) 集中荷重 $P(t)$ が作用する場合

図に示すように $x=x_j$ なる位置に集中荷重 $P(t)$ が作用するとき、 $x=x_i$ 处におけるランガーブの動的レスポンス w は、一般に式(3.1), (3.2) から求めることができる。

$$\ddot{w}_m + \omega_m^2 w_m = \Psi_m(x=x_i) \Psi_m(x=x_j) P(t) \quad \dots \quad (3.1)$$

$$w = \sum_{m=1}^{\infty} w_m \quad \dots \quad (3.2)$$

ここに w_m は m 次のモードによるためである。

(ii) 集中荷重 $P(t)$ が移動する場合

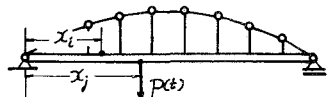
集中荷重 $P(t)$ が移動する場合には、式(3.1)において、単に荷重位置 x_j を時間の関数 $x_j(t)$ として代入すればよい。すなわち、

$$\ddot{w}_m + \omega_m^2 w_m = \Psi_m(x=x_i) \Psi_m(x=x_j) P(t) \quad \dots \quad (3.3)$$

(iii) 周期力 $P_0 \sin \omega t$ が作用する場合

周期力 $P_0 \sin \omega t$ が作用する場合には、式(3.1)より

$$w_m = \frac{\Psi_m(x=x_i) \Psi_m(x=x_j) P_0}{\omega_m^2 - \omega^2} \sin \omega t \quad \dots \quad (3.4)$$



となる。

(iv) 静荷重 P_0 が作用する場合

静荷重 P_0 が作用する場合には、式(3.4)において、 $\omega \rightarrow 0$ による極限を考慮すればよい。

すなわち

$$w(x_i) = \sum_{m=1}^{\infty} \Psi_m(x=x_i) \Psi_m(x=x_j) P_0 / \omega_m^2 \quad \dots \quad (3.4)$$

すなわち、静荷重が作用する時のランガーブの挿みは、固有振動数 ω_m 、振動モード $\Psi_m(x)$ を使用して求めることができる。

(v) 補剛枠の曲げモーメントについて

集中荷重 $P(t)$ が作用する時、ランガー桁橋の動的静的レスポンスを求める基礎方程式は式(3.1)~(3.4)にて与えられる。これら基礎方程式を誘導する過程には、近似は全く行われてからず、これらの方程式を解いて求められる値は厳密解である。したがって一旦挿みが求められれば、曲げモーメントは、これら挿みの関数の2階微分として式(3.5)より求めることができる。

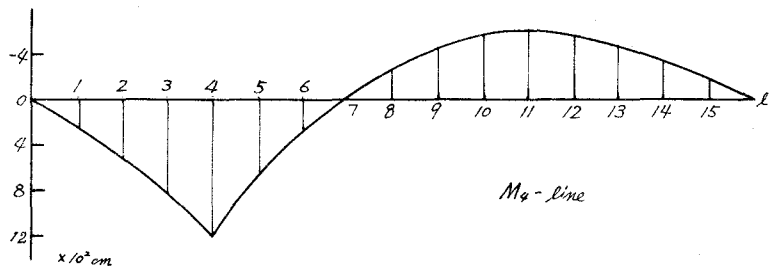
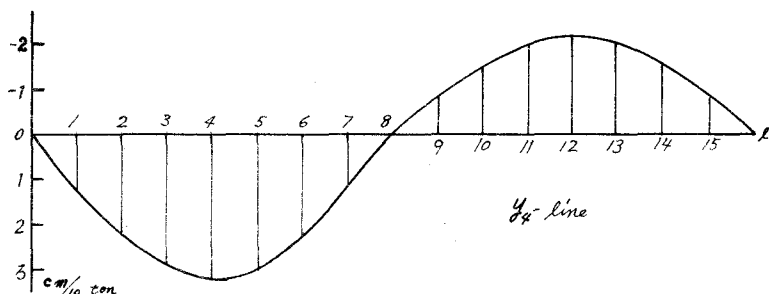
$$M(x) = EI \frac{d^2 w}{dx^2} = EI \frac{d^2}{dx^2} \left(\sum_{m=1}^{\infty} w_m \right) \quad \dots \dots \dots \dots \quad (3.5)$$

数値計算例

(その2)において述べた戸崎橋について、1/4奥の挿みの影響線、曲げモーメントの影響線を式(3.4), (3.5)より求めた結果を下図に示す。この挿みの影響線、曲げモーメントの影響線は、通常の静力学的方法すなわち、仮想仕事法より求めた値と全く一致する。

式(3.2)と式(3.5)を使用してこれらの挿み、曲げモーメントを求めるには、理論的には $m=1 \sim \infty$ の振動次数のものについて計算を行う必要があるが、数値計算を行ってみると、実際にアーチが補剛枠に作用するのは対称モードの $m=1, 3, 5$ 次程度まででありそれより高次の振動モードのものは補剛枠のみの振動次数のものと変わらない。このような性質を利用すれば、下図の挿みの影響線、曲げモーメントの影響線は比較的容易に求められる。

なお、移動荷重が作用するとさの動的レスポンスは、紙面の都合上詳しいことは、当日に發表する。



(v)補剛桁の曲げモーメントについて

集中荷重 $P(t)$ が作用する時、ランガー桁橋の動的静的レスポンスを求める基礎方程式は式(3.1)~(3.4)にて与えられる。これら基礎方程式を誘導する過程には、近似は全く行われてからず、これらの方程式を解いて求められる値は厳密解である。したがって一旦挿みが求められれば、曲げモーメントは、これら挿みの関数の2階微分として式(3.5)より求めることができる。

$$M(x) = EI \frac{d^2 w}{dx^2} = EI \frac{d^2}{dx^2} \left(\sum_{m=1}^{\infty} w_m \right) \quad \dots \dots \dots \quad (3.5)$$

数値計算例

(その2)において述べた斜橋について、1/4点の挿みの影響線、曲げモーメントの影響線を式(3.4)、(3.5)より求めた結果を下図に示す。この挿みの影響線、曲げモーメントの影響線は、通常の静力学的方法すなわち、仮想仕事法より求めた値と全く一致する。

式(3.2)と式(3.5)を使用してこれらの挿み、曲げモーメントを求めるには、理論的には $m=1 \sim \infty$ の振動次数のものについて計算を行う必要があるが、数値計算を行ってみると、実際にアーチが補剛桁に作用するのは対称モードの $m=1, 3, 5$ 次程度まででありそれより高次の振動モードのものは補剛桁のみの振動次数のものと変わらない。このような性質を利用すれば、下図の挿みの影響線、曲げモーメントの影響線は比較的容易に求められる。

なお、移動荷重が作用するとさの動的レスポンスは、紙面の都合上詳しいことは、当日に發表する。

